

Н.Б. Сультимова, О.К. Базыль, О.Н. Чайковская, И.В. Соколова,
В.А. Светличный

Влияние замещения тяжелым атомом на спектрально-люминесцентные свойства и фотолиз фенола

Сибирский физико-технический институт им. В.Д. Кузнецова при ТГУ, г. Томск

Поступила в редакцию 20.12.2001 г.

Анализ спектрально-люминесцентных свойств фенола и его замещенных показал, что квантовый выход флуоресценции в ряду фенол, 4-хлорфенол, 4-бромфенол падает. Согласно квантово-химическим расчетам малый квантовый выход флуоресценции фенола обусловлен интеркомбинационной (*S-T*) конверсией, более эффективной, чем скорость радиационного распада состояния S_1 ($k_r = 3 \cdot 10^7 \text{ с}^{-1}$, $k_{ST} = 10^8 \cdot \text{с}^{-1}$). Замещения приводят к увеличению эффективности *S-T*-конверсии, снижению квантового выхода в 4-хлорфеноле и тушению флуоресценции в 4-бромфеноле ($\gamma_{\text{Ph}} = 0,23$, $\gamma_{\text{Cl-Ph}} = 0,09$, $\gamma_{\text{Br-Ph}} = 10^{-4}$).

Теоретическими и экспериментальными методами было проведено сравнение эффективности фотолиза фенола и его производных.

Введение

Фенол и его производные в больших количествах содержатся в природных водах. Эти соединения систематически вводятся в почву или в водную среду путем интенсивного примененияfungицидов, инсектицидов или гербицидов [1]. Загрязнение окружающей среды и, в особенности, грунтовых вод этими поллютантами представляет токсикологический риск. Биологические трансформации являются часто эффективным способом распада этих соединений. Однако фотохимия предоставляет альтернативный способ для распада экотоксикантов. Фотофизические свойства и первичные фотопреакции фенола в водном растворе хорошо проиллюстрированы в обзора [1, 2].

Эффективность фотолиза зависит от энергии возбуждения, температуры и pH среды. Под действием температурных перепадов, солнечной радиации, биотических и абиотических превращений, изменения pH среды водных объектов исходные фенолы дают спектр новых, зачастую более опасных продуктов. Так, при хлорировании питьевой воды, в которой содержатся фенолы, они могут образовывать канцерогены 1-го класса – дibenзодиоксины [3]. Известно [4, 5], что фотохимические свойства фенолов зависят как от типа заместителя, так и от его положения в кольце.

В данной статье исследовано влияние замещения тяжелым атомом на спектрально-люминесцентные свойства и фотолиз фенола в воде.

Методика

Электронные спектры поглощения и флуоресценции растворов фенола и его замещенных до и после облучения регистрировались на спектрофотометре

«Specord M40» и спектрофлуориметре «Hitachi 850». В качестве источников УФ-света для фотохимических исследований использовались импульсные эксилампы¹ барьерного разряда на смесях инертных газов и галогенов: XeBr ($\lambda = 283 \text{ нм}$) и KrCl ($\lambda = 222 \text{ нм}$). Для интерпретации спектрально-люминесцентных свойств и выяснения механизмов фоторазрыва связей O–H, C–Cl и C–Br изолированных молекул фенола привлечен квантово-химический расчет – метод частично-го пренебрежения дифференциальным перекрыванием (ЧПДП) со спектроскопической параметризацией.

Результаты и обсуждение

Спектрально-люминесцентные свойства

Получены спектры поглощения и флуоресценции водных растворов исследуемых соединений (рис. 1 и 2). При добавлении сильных кислот и щелочей в водные растворы фенолов обнаружены обратимые изменения в спектрах поглощения и флуоресценции, отнесенные к образованию различных ионных форм фенолов (катионной, анионной) (табл. 1).

Квантово-химические расчеты спектров поглощения фенолов показали, что замещение тяжелым атомом в *пара*-положении фенола не вызывает больших изменений в спектрах. Эти замещения приводят к длинноволновому сдвигу полос поглощения, росту интенсивностей в длинноволновой и средней областях спектра (табл. 2). Замещение тяжелым атомом приводит к появлению состояния S_2 ($\pi\sigma^*$), в формировании σ^* -орбитали

¹ Эксиплексные лампы предоставлены проф. В.Ф. Тарабенко (лаборатория оптических излучений ИСЭ СО РАН) в рамках сотрудничества по гранту АН РФ № 407.

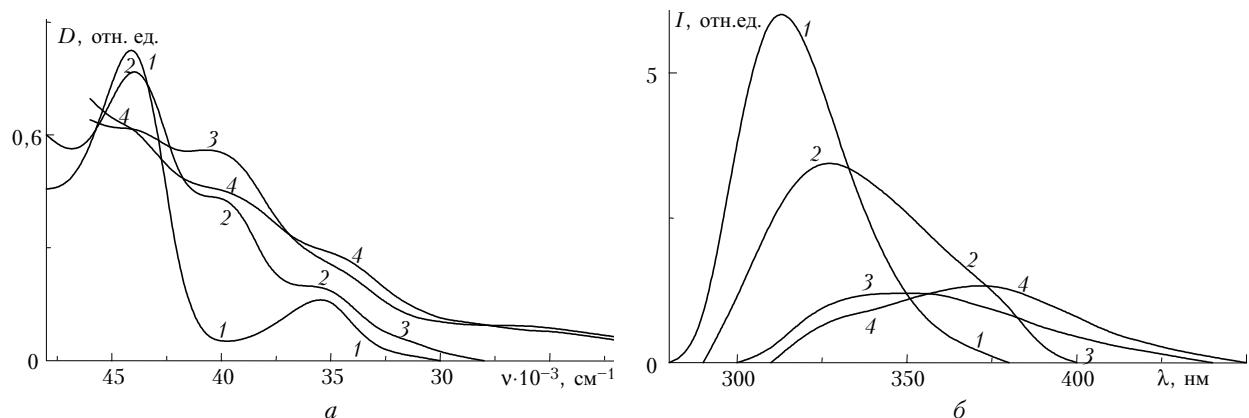


Рис. 1. Спектры поглощения (а) и флуоресценции (б) водного раствора 4-хлорфенола до (1) и после облучения XeBr- (2, 3) и KrCl- (4) лампами: 2 – $E_{\text{нак}} = 0,6 \text{ Дж}/\text{см}^3$; 3, 4 – $E_{\text{нак}} = 6 \text{ Дж}/\text{см}^3$

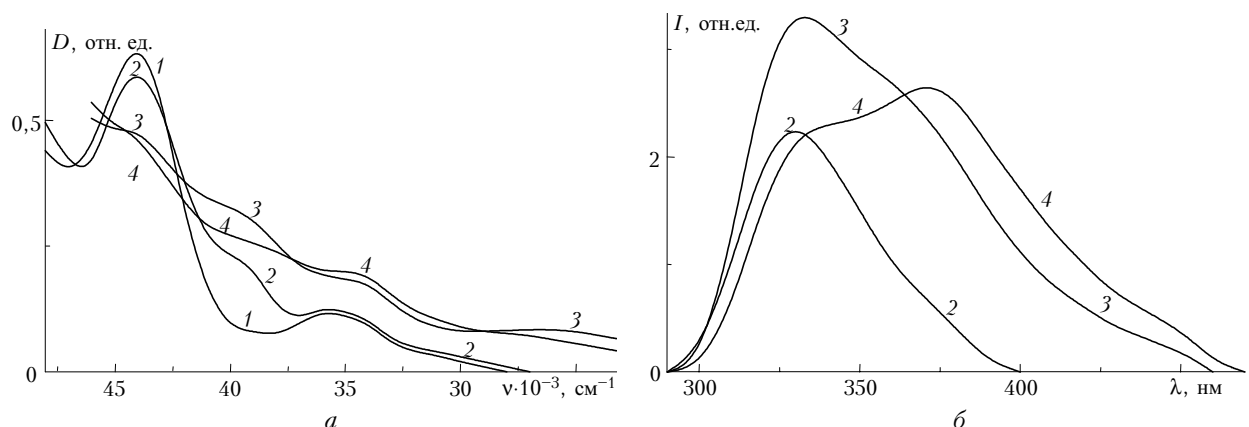


Рис. 2. Спектры поглощения (а) и флуоресценции (б) водного раствора 4-бромфенола до (1) и после облучения XeBr- (2, 3) и KrCl- (4) лампами: 2 – $E_{\text{нак}} = 0,6 \text{ Дж}/\text{см}^3$; 3, 4 – $E_{\text{нак}} = 6 \text{ Дж}/\text{см}^3$

Таблица 1
Спектрально-люминесцентные свойства ионных форм 4-хлорфенола и 4-бромфенола

Соединение	рН	Поглощение (в скобках ε_{max} , л/(моль·см))		Флуоресценция λ_{max} , нм
		λ_1 , нм	λ_2 , нм	
Фенол в воде	6,3	210 (7200)	270 (1720)	296 $\lambda_{\text{возб}} = 270 \text{ нм}$
Фенол + 10^{-1} М KOH	12,5	230 (12800)	290 (5000)	345 $\lambda_{\text{возб}} = 300 \text{ нм}$
Фенол + 20% H_2SO_4	-0,5	240 (11000)	300 (1000)	415 $\lambda_{\text{возб}} = 300 \text{ нм}$
4-хлорфенол в воде	6,5	230 (9900)	280 (2000)	310 $\lambda_{\text{возб}} = 280 \text{ нм}$
4-хлорфенол + 10^{-1} М KOH	13	240 (9800)	305 (2400)	355 $\lambda_{\text{возб}} = 300 \text{ нм}$
4-хлорфенол + 20% H_2SO_4	-0,9	230 (8800)	275 (1760)	425 $\lambda_{\text{возб}} = 300 \text{ нм}$
4-бромфенол в воде	6	225 (7000)	280 (1400)	Не флуоресцирует
4-бромфенол + 10^{-1} М KOH	12,8	245 (8400)	300 (1800)	Не флуоресцирует
4-бромфенол + 20% H_2SO_4	-1	220 (9400)	330 (600)	Не флуоресцирует

П р и м е ч а н и е . $\lambda_{\text{возб}}$ – длина волны возбуждения флуоресценции; ε_{max} – молекулярный коэффициент экстинкции в максимуме полосы поглощения.

которого участвуют атомы связи C-Hal (углерод-галоген, где Hal = Br, Cl). Электронный переход в исследованных замещенных $S_0 \rightarrow S_2 (\pi\sigma^*)$ лежит в области длинноволновой полосы поглощения (см. табл. 2).

Эксперимент показал, что интенсивность полосы флуоресценции при переходе от фенола к его хлорзамещенному падает, а в бромфеноле флуоресценция не наблюдалась. Для объяснения данного

экспериментального факта привлечены квантово-химические расчеты. С волновыми функциями, полученными методом ЧПДП, рассчитаны константы скоростей фотофизических процессов (радиационного распада, внутренней и синглет-триплетной конверсий).

Согласно расчетам малый квантовый выход флуоресценции фенола обусловлен интеркомбинационной ($S-T$) конверсией, более эффективной, чем скорость

радиационного распада состояния S_1 ($k_r = 3 \cdot 10^7 \text{ c}^{-1}$, $k_{ST} = 10^8 \text{ c}^{-1}$). Замещения приводят к увеличению эффективности данного безызлучательного канала дезактивации флуоресцентного состояния, снижению квантового выхода в 4-хлорфеноле по сравнению с фенолом и тушению флуоресценции в 4-бромфеноле ($\gamma_{\text{Ph}} = 0,23$, $\gamma_{\text{Cl-Ph}} = 0,09$, $\gamma_{\text{Br-Ph}} = 10^{-4}$) (рис. 3).

Таблица 2

Рассчитанные спектры электронно-возбужденных состояний молекул фенола и его замещенных

Соединение	Состояние	Расчет			Эксперимент	
		$E, \text{ см}^{-1}$	f	P	$E, \text{ см}^{-1}$	$\epsilon \cdot 10^{-3}$
Фенол	$S_1(\pi\pi^*)$	36749	0,020	Y	37037	2,0
	$S_2(\pi\pi^*)$	45394	0,100	X	47393	6,5
	$S_3(\pi\sigma^*)$	47737	0,002	Z		
4-хлорфенол	$S_1(\pi\pi^*)$	36265	0,050	Y	35700	2,0
	$S_2(\pi\sigma^*)$	37200	0,006	Z		
	$S_3(\pi\pi^*)$	42941	0,210	X	41400	9,0
4-бромфенол	$S_1(\pi\pi^*)$	35662	0,060	Y	35000	2,3
	$S_2(\pi\sigma^*)$	37692	0,008	Z		
	$S_3(\pi\pi^*)$	42193	0,232	X	40000	9,0

Примечание. E , f , P – энергия, сила осциллятора и поляризация электронного перехода.

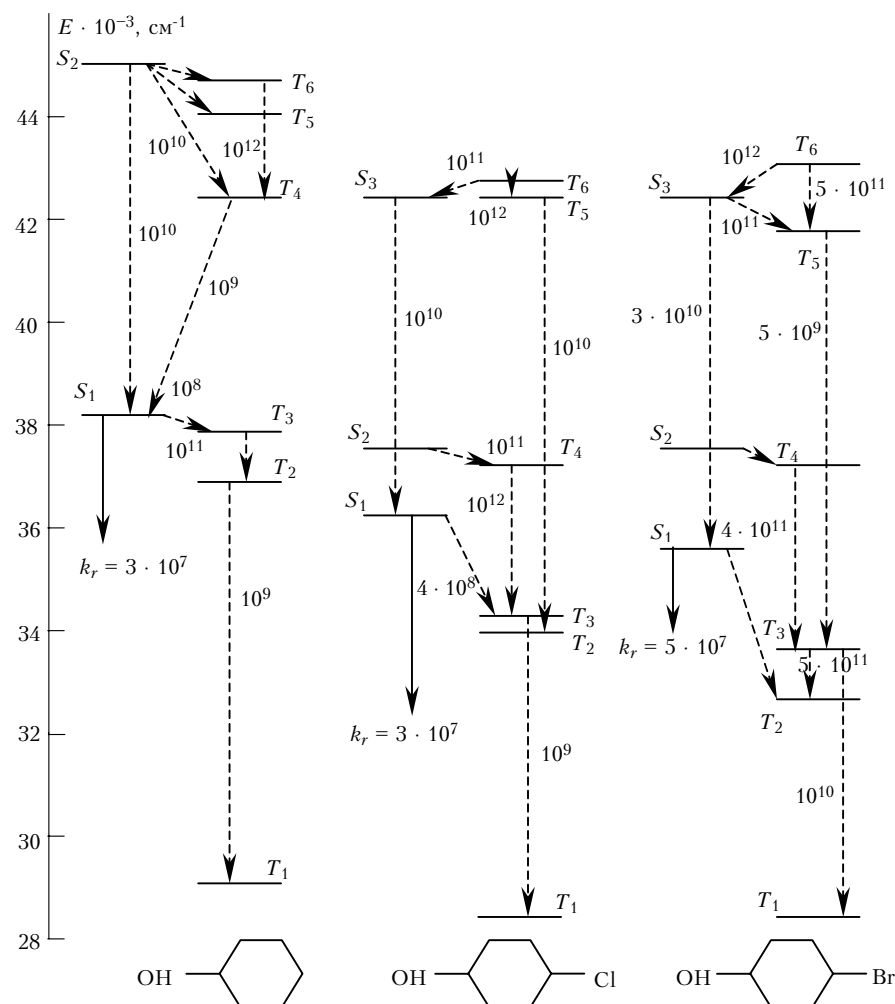


Рис. 3. Схема электронно-возбужденных состояний фенола и его галогензамещенных (k_r – константа скорости радиационного распада флуоресцентного состояния, с^{-1} ; цифры у пунктирных линий – константы скоростей безызлучательных фотофизических процессов, с^{-1})

Фотолиз

После лампового облучения в результате фотопревращений наблюдается увеличение диффузного поглощения по всему спектру в исследованных молекулах. Однако в случае фенола эти изменения малы, а в спектрах его замещенных выражены намного сильнее (рис. 1, а и 2, а), что указывает на образование нескольких фотопродуктов. Фотохимический распад молекулы фенола происходит через разрыв связи О–Н, молекул галогензамещенных – через разрыв связей О–Н и С–Hal, поэтому появление полос поглощения в области 245–255 нм характерно для образования структур хинонового типа [6]. Спектры образующихся фотопродуктов представлены на рис. 4 и 5.

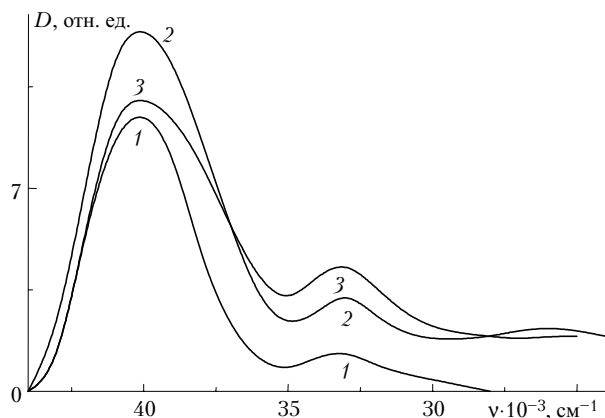


Рис. 4. Спектры поглощения продуктов фотолиза 4-хлорфенола под действием KrCl- (3) и XeBr- (1, 2) ламп: 1 – $E_{\text{нак}} = 0,6 \text{ Дж}/\text{см}^3$; 2, 3 – $E_{\text{нак}} = 6 \text{ Дж}/\text{см}^3$

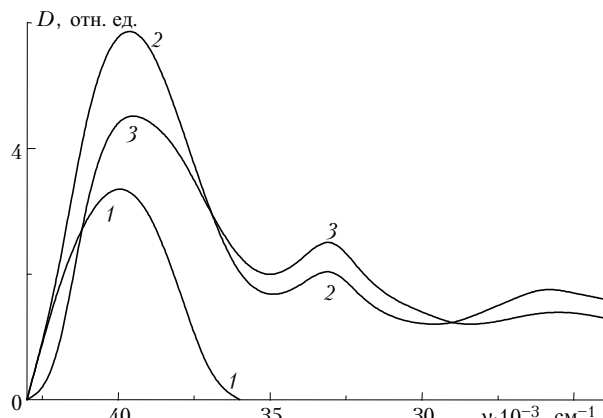


Рис. 5. Спектры поглощения продуктов фотолиза 4-бромфенола под действием KrCl- (3) и XeBr- (1, 2) ламп: 1 – $E_{\text{нак}} = 0,6 \text{ Дж}/\text{см}^3$; 2, 3 – $E_{\text{нак}} = 6 \text{ Дж}/\text{см}^3$

Результаты квантово-химического исследования фотопреакции разрыва связи О–Н фенола в зависимости от замещения и энергии возбуждающего света показали следующее. Разрыв связи О–Н в феноле происходит по механизму преддиссоциации в электронно-возбужденных состояниях $\pi\sigma^*_\text{OH}$ -типа [7]. В табл. 3 представлены константы скорости перехода возбуж-

денных молекул в фотодиссоциативные синглетное и триплетное состояния путем внутренней или синглет-триплетной конверсии.

Таблица 3

Константы скорости перехода в фотодиссоциативные состояния $S_D \equiv S(\pi\sigma^*\text{OH})$ и $T_D \equiv T(\pi\sigma^*\text{OH})$

Соединение	$K(S_1 \rightarrow -S_D)$	$K(S_1 \rightarrow -T_D)$	$K(S_3 \rightarrow -S_D)$	$K(S_3 \rightarrow -T_D)$
Фенол	10^{-4}	$6 \cdot 10^9$	10^{-3}	$8 \cdot 10^{10}$
4-хлорфенол	10^{-1}	$3 \cdot 10^9$	10^{-6}	$7 \cdot 10^{10}$
4-бромфенол	10^{-5}	10^{10}	10^{-5}	$2 \cdot 10^{11}$

В изолированных молекулах заселяется триплетное фотодиссоциативное состояние. Поэтому в феноле и его замещенных следует ожидать наибольшую эффективность фоторазрыва связи О–Н в триплетных состояниях. Эффективность разрыва связи О–Н для исследованных молекулярных структур увеличивается при возбуждении в средней области спектра, по сравнению с длинноволновой областью. Замещение тяжелым атомом практически не влияет на вышеназванные закономерности фоторазрыва связи О–Н. Расчеты показали, что разрыв связи С–Hal в исследуемых молекулах происходит преимущественно в триплетном состоянии $\pi\sigma^*$ -типа, локализованного на этой связи. Фоторазрыв связи С–Hal в синглетном состоянии аналогичного типа (S_2) малоэффективен, поскольку мала сила осциллятора перехода $S_0 \rightarrow S_2$, а заселение этого состояния посредством внутримолекулярных фотофизических процессов не происходит (см. рис. 3).

При облучении водного раствора 4-хлорфенола наблюдается падение интенсивности флуоресценции в основной полосе ($\lambda^{\text{max}} = 310 \text{ нм}$), принадлежащей молекуле 4-хлорфенола. Одновременно появляется полоса фотопродукта с максимумом в области 330 нм, которую относим к флуоресценции гидрохинона как первичного продукта фотораспада 4-хлорфенола [8]. С увеличением вкачиваемой энергии в раствор (до 6 Дж/см³) наблюдается падение интенсивности полосы флуоресценции гидрохинона в области 330 нм (рис. 1, б) и слабоинтенсивное неидентифицированное нами излучение в области 370 нм. По-видимому, падение интенсивности полосы флуоресценции гидрохинона связано с окислением его в *n*-бензохинон, который является конечным продуктом фототрансформации 4-хлорфенола в данном исследовании.

Механизм распада бромзамещенного фенола подобен механизму фотолиза 4-хлорфенола, поскольку после облучения в спектре наблюдается флуоресценция его фотопродуктов на 330 и 370 нм (рис. 2, б). Исследование спектров флуоресценции замещенных фенолов после облучения экспилексными лампами показало следующее. Независимо от природы заместителя после облучения образуются фотопродукты, флуоресцирующие в области 330 и 370 нм. Следует заметить, что при облучении лампой KrCl (средняя область спектра поглощения) водных растворов замещенных фенола преимущественно получаются фотопродукты, флуоресцирующие в области $\lambda > 370 \text{ нм}$.

(см. рис. 1,б и 2,б). Фотопродукты, флуоресцирующие в коротковолновой области ($330 < \lambda < 370$ нм), формируются при облучении галогензамещенных фенолов лампой XeBr (длинноволновая полоса поглощения).

Эффективность фотопревращений замещенных фенолов примерно одинакова, но по сравнению с фенолом эффективность фотолиза 4-хлор- и 4-бромфенола под действием УФ-света резко возрастает. Не обнаружено, однако, увеличения эффективности фотолиза при переходе от 4-хлорфенола к 4-бромфенолу, хотя квантовый выход флуоресценции в бромзамещенном падает почти до нуля. Следовательно, это случай, когда атомы брома заметно влияют на фотофизические процессы, но не на фотохимические.

Итак, полученные результаты показывают, что облучение УФ-светом приводит к эффективному разложению моногалогензамещенных фенолов.

Работа выполнена при финансовой поддержке Российского фонда фундаментальных исследований (проект «р98 Сибирь» № 98-03-03059), Министерства образования РФ (проект № Е 00-12.0-235) и АН РФ (грант № 407 VI конкурса грантов молодых ученых).

1. *Richard C., Grabner G.* Mechanism of phototransformation of phenol and derivatives in aqueous solution. The

N.B. Sultimova, O.K. Bazyl, O.N. Chaikovskaya, I.V. Sokolova, and V.A. Svetlichnyi. The influence of substitution to heavy atom on the spectral-luminescent properties and photolysis of phenol.

The analysis of the spectral luminescent properties of phenol and its derivatives showed that quantum yield of fluorescence in the series: phenol, 4-chlorophenol, 4-bromophenol decreases. According to quantum chemical calculations, a small quantum yield of fluorescence is caused by intercombination conversion which is more effective than the rate of the S_1 state radiation decay ($k_r = 3 \cdot 10^7 \text{ c}^{-1}$, $k_{ST} = 10^8 \cdot \text{c}^{-1}$). The substitutions lead to increase in $S-T$ conversion efficiency, decrease in the quantum yield in 4-chlorophenol and quenching of the fluorescence in 4-bromophenol ($\gamma_\Phi = 0.23$, $\gamma_{Cl-\Phi} = 0.09$, $\gamma_{Br-\Phi} = 10^{-4}$).

The comparison of photolysis efficiency of phenol and its derivatives under exposure to the UV radiation has been investigated by both theoretical and experimental methods.

Handbook of Environmental Chemistry. V. 2. Part 2. Environmental Photochemistry (ed. by P. Boule). Berlin; Heidelberg: Springer-Verlag, 1999. P. 218–240.

2. *Creed D.* Photophysical and photochemical properties of phenols and tyrosine // J. Photochem. Photobiol. A. 1984. V. 39. P. 563–580.

3. *Состояние окружающей природной среды в Томской области / Ежегодный обзор Госкомитета по охране ОС. Томск: Томский областной комитет по охране ОС и природных ресурсов, 1997. 70 с.*

4. *Мартынов И.Ю., Демяшевич А.Б., Ужинов Б.М., Кузьмин М.Г.* Реакции переноса протона в возбужденных электронных состояниях ароматических молекул // Успехи химии. 1977. Т. XLVI. № 1. С. 3–31.

5. *Legrini O., Oliveros E., Braun A.M.* Photochemical processes for water treatment // Chem. Rev. 1993. V. 93. № 2. P. 671–698.

6. *Oudjehani K., Boule P.* Photoreactivity of 4-chlorophenol in aqueous solution // J. Photochem. Photobiol. A.: Chemistry. 1992. V. 68. № 3. P. 363–373.

7. *Базыль О.К., Майер Г.В., Артюхов В.Я., Соколова И.В.* Квантово-химическое исследование спектрально-люминесцентных свойств и фотолиза фенола и его комплексов с водой // Химия высок. энергий. 2000. Т. 34. № 1. С. 35–41.

8. *Сультимова Н.Б., Соколова Т.В.* Флуоресцентный анализ экотоксикантов в воде // Труды II Совещания «Экология пойм сибирских рек и Арктики». Томск: «СТТ», 2000. С. 188–193.